

Teorias de calibre

Física de Partículas Elementares - I

Prof. Marcelo A. Leigui de Oliveira

Centro de Ciências Naturais e Humanas
Universidade Federal do ABC
Av. dos Estados, 5001
09210-580 Santo André-SP

25 de abril de 2023



Universidade Federal do ABC

Formulação lagrangeana da mecânica de partículas clássica

- Introduzimos as teorias de calibre que acredita-se serem subjacentes às interações das partículas elementares. Veremos a formulação lagrangeana da mecânica e da teoria de campos, o princípio da invariância local, a noção de quebra espontânea de simetria e o mecanismo de Higgs. Estes temas estão relacionados com a teoria quântica de campos, de onde as regras de Feynman são deduzidas.
- A segunda lei de Newton:

$$\vec{F} = m\vec{a},$$

onde \vec{F} é a força, m é a massa e \vec{a} a aceleração. Se a força for conservativa, pode ser descrita como o gradiente de um potencial:

$$\vec{F} = -\nabla U$$

e a segunda lei de Newton pode ser escrita:

$$m \frac{d\vec{v}}{dt} = -\nabla U.$$

Formulação lagrangeana da mecânica de partículas clássica

- Na formulação lagrangeana, partimos da função lagrangeana:

$$L = T - U,$$

onde T é a energia cinética:

$$T = \frac{1}{2}mv^2.$$

A lagrangeana é uma função das coordenadas generalizadas q_i ($q_1 = x$, $q_2 = y$, $q_3 = z$) e de suas derivadas \dot{q}_i ($\dot{q}_1 = v_x$, $\dot{q}_2 = v_y$, $\dot{q}_3 = v_z$). A lei de Newton é então a equação de Euler-Lagrange:

$$\frac{d}{dt} \left(\frac{\partial L}{\partial \dot{q}_i} \right) = \frac{\partial L}{\partial q_i} \quad (i = 1, 2, 3)$$

Assim, em coordenadas cartesianas:

$$\frac{\partial L}{\partial \dot{q}_1} = \frac{\partial T}{\partial v_x} = mv_x$$

$$\frac{\partial L}{\partial q_1} = -\frac{\partial U}{\partial x}$$

e analogamente para as coordenadas 2 e 3 (probl. 11.1).

Lagrangeanas na teoria de campos relativística

- Uma *partícula* é localizada e usualmente na mecânica queremos sua trajetória (posição em função do tempo): $x(t), y(t), z(t)$. Já um *campo* se espalha no espaço e queremos funções da posição e do tempo: $\phi_i(x, y, z, t)$.
- Na teoria de campos, iniciamos com uma *densidade lagrangeana*, \mathcal{L} , que é função dos campos ϕ_i e de suas derivadas em x, y, z e t :

$$\partial_\mu \phi_i \equiv \frac{\partial \phi_i}{\partial x^\mu}.$$

- Numa teoria relativística, as variáveis espaciais e temporal devem ser tratadas em pé de igualdade, assim a equação de Euler-Lagrange fica:

$$\partial_\mu \left(\frac{\partial \mathcal{L}}{\partial (\partial_\mu \phi_i)} \right) = \frac{\partial \mathcal{L}}{\partial \phi_i} \quad (i = 1, 2, 3, 4)$$

Lagrangianas na teoria de campos relativística - Exemplos

1 A lagrangeana de Klein-Gordon para um campo escalar (spin 0):

Seja um campo escalar ϕ e a lagrangeana:

$$\mathcal{L} = \frac{1}{2}(\partial_\mu\phi)(\partial^\mu\phi) - \frac{1}{2}\left(\frac{mc}{\hbar}\right)^2\phi^2,$$

ou, abrindo mais:

$$\mathcal{L} = \frac{1}{2}(\partial_0\phi\partial_0\phi - \partial_1\phi\partial_1\phi - \partial_2\phi\partial_2\phi - \partial_3\phi\partial_3\phi) - \frac{1}{2}\left(\frac{mc}{\hbar}\right)^2\phi^2.$$

Agora, as derivadas são:

$$\frac{\partial\mathcal{L}}{\partial(\partial_0\phi)} = \partial_0\phi = \partial^0\phi, \quad \frac{\partial\mathcal{L}}{\partial(\partial_1\phi)} = -\partial_1\phi = \partial^1\phi, \quad \dots$$

ou:

$$\frac{\partial\mathcal{L}}{\partial(\partial_\mu\phi)} = \partial^\mu\phi.$$

Enquanto que:

$$\frac{\partial\mathcal{L}}{\partial\phi} = -\left(\frac{mc}{\hbar}\right)^2\phi.$$

Então, a equação de Euler-Lagrange exige:

$$\partial_\mu\partial^\mu\phi + \left(\frac{mc}{\hbar}\right)^2\phi = 0,$$

que é a equação de Klein-Gordon de uma partícula de spin 0 e massa m .

Lagrangeanas na teoria de campos relativística - Exemplos

2 A lagrangeana de Dirac para um campo espinorial (spin $\frac{1}{2}$):

Seja um campo espinorial ψ e a lagrangeana:

$$\mathcal{L} = i(\hbar c)\bar{\psi}\gamma^\mu\partial_\mu\psi - (mc^2)\bar{\psi}\psi,$$

com ψ e $\bar{\psi}$ sendo tratadas como variáveis independentes.

Das derivadas em $\bar{\psi}$ temos:

$$\frac{\partial\mathcal{L}}{\partial(\partial_\mu\bar{\psi})} = 0, \quad \frac{\partial\mathcal{L}}{\partial\bar{\psi}} = i\hbar c\gamma^\mu\partial_\mu\psi - mc^2\psi \Rightarrow i\gamma^\mu\partial_\mu\psi - \left(\frac{mc}{\hbar}\right)\psi = 0$$

que é a equação de Dirac descrevendo uma partícula de spin $\frac{1}{2}$ e massa m .

Enquanto que das derivadas em ψ temos:

$$\frac{\partial\mathcal{L}}{\partial(\partial_\mu\psi)} = i\hbar c\bar{\psi}\gamma^\mu, \quad \frac{\partial\mathcal{L}}{\partial\psi} = -mc^2\bar{\psi} \Rightarrow i\partial_\mu\bar{\psi}\gamma^\mu + \left(\frac{mc}{\hbar}\right)\bar{\psi} = 0,$$

que é a equação adjunta de Dirac descrevendo uma partícula de spin $\frac{1}{2}$ e massa m .

Lagrangianas na teoria de campos relativística - Exemplos

3 A lagrangeana de Proca para um campo vetorial (spin 1):

Seja um campo vetorial A^μ e a lagrangeana:

$$\mathcal{L} = \frac{-1}{16\pi} (\partial^\mu A^\nu - \partial^\nu A^\mu)(\partial_\mu A_\nu - \partial_\nu A_\mu) + \frac{1}{8\pi} \left(\frac{mc}{\hbar} \right)^2 A^\nu A_\nu.$$

Agora (probl. 11.2):

$$\frac{\partial \mathcal{L}}{\partial(\partial_\mu A_\nu)} = \frac{-1}{4\pi} (\partial^\mu A^\nu - \partial^\nu A^\mu), \quad \frac{\partial \mathcal{L}}{\partial A_\nu} = \frac{1}{4\pi} \left(\frac{mc}{\hbar} \right)^2 A^\nu \Rightarrow$$

$$\partial_\mu (\partial^\mu A^\nu - \partial^\nu A^\mu) + \left(\frac{mc}{\hbar} \right)^2 A^\nu = 0$$

que é a equação de Proca descrevendo uma partícula de spin 1 e massa m .

Definindo-se o tensor:

$$F^{\mu\nu} \equiv \partial^\mu A^\nu - \partial^\nu A^\mu,$$

a lagrangeana e a equação de campo ficam:

$$\mathcal{L} = \frac{-1}{16\pi} F^{\mu\nu} F_{\mu\nu} + \frac{1}{8\pi} \left(\frac{mc}{\hbar} \right)^2 A^\nu A_\nu$$

$$\partial_\mu F^{\mu\nu} + \left(\frac{mc}{\hbar} \right)^2 A^\nu = 0.$$

- Obs.: impondo $m = 0$ obtemos as equações de Maxwell, pois o campo eletromagnético é um campo vetorial de uma partícula sem massa (o fóton).

Lagrangeanas na teoria de campos relativística - Exemplos

● A lagrangeana de Maxwell para um campo vetorial sem massa com fonte (J^μ):

Seja a lagrangeana:

$$\mathcal{L} = \frac{-1}{16\pi} F^{\mu\nu} F_{\mu\nu} + \frac{1}{c} J^\mu A_\mu.$$

A equação de Euler-Lagrange fica:

$$\partial_\mu F^{\mu\nu} = \frac{4\pi}{c} J^\nu,$$

que (como vimos) é a forma tensorial das equações de Maxwell, descrevendo campos eletromagnéticos produzidos pelas fontes J^μ .

Derivando-se novamente, vem a equação da continuidade:

$$\partial_\nu J^\nu = 0.$$

Invariância de calibre local

- Note que a lagrangeana de Dirac:

$$\mathcal{L} = i(\hbar c)\bar{\psi}\gamma^\mu\partial_\mu\psi - (mc^2)\bar{\psi}\psi$$

é invariante sob uma *transformação global de calibre*:

$$\psi \rightarrow e^{i\theta}\psi,$$

onde θ é um número real, pois:

$$\bar{\psi} \rightarrow e^{-i\theta}\bar{\psi} \Rightarrow \bar{\psi}\psi \rightarrow e^{-i\theta}e^{i\theta}\bar{\psi}\psi = \bar{\psi}\psi.$$

Agora, se o fator de fase for dependente da posição, $\theta(x)$:

$$\psi \rightarrow e^{i\theta(x)}\psi,$$

teremos uma *transformação local de calibre*.

Será que a lagrangeana é invariante sob uma transformação local de calibre? Não, pois:

$$\partial_\mu[e^{i\theta(x)}\psi] = i[\partial_\mu\theta(x)]e^{i\theta(x)}\psi + e^{i\theta(x)}\partial_\mu\psi,$$

tal que:

$$\mathcal{L} \rightarrow \mathcal{L} - \hbar c[\partial_\mu\theta(x)]\bar{\psi}\gamma^\mu\psi.$$

Definindo-se:

$$\lambda(x) \equiv -\frac{\hbar c}{q}\theta(x),$$

onde q é a carga da partícula.

Então, em termos de λ :

$$\begin{aligned}\mathcal{L} &\rightarrow \mathcal{L} + (q\bar{\psi}\gamma^\mu\psi)\partial_\mu\lambda, \\ \psi &\rightarrow e^{-iq\lambda(x)/\hbar c}\psi.\end{aligned}$$

Invariância de calibre local

- Se a transformação de calibre local for, por *imposição*, invariante, deve-se subtrair o termo extra da lagrangeana:

$$\mathcal{L} = [i\hbar c \bar{\psi} \gamma^\mu \partial_\mu \psi - mc^2 \bar{\psi} \psi] - (q \bar{\psi} \gamma^\mu \psi) A_\mu,$$

onde A_μ é um novo campo (de “calibre”), que sob uma transformação local de calibre:

$$A_\mu \rightarrow A_\mu + \partial_\mu \lambda.$$

- Falta ainda um termo “livre” no campo de calibre. Tomando-se a lagrangeana de Proca:

$$\mathcal{L} = \frac{-1}{16\pi} F^{\mu\nu} F_{\mu\nu} + \frac{1}{8\pi} \left(\frac{m_A c}{\hbar} \right)^2 A^\nu A_\nu.$$

Inicialmente, o campo de calibre deve ser sem massa ($m_A = 0$), se não a invariância estará perdida, pois, $F^{\mu\nu}$ é invariante, mas $A^\nu A_\nu$ não é. Assim, a lagrangeana completa deve ser:

$$\mathcal{L} = [i\hbar c \bar{\psi} \gamma^\mu \partial_\mu \psi - mc^2 \bar{\psi} \psi] + \left[\frac{-1}{16\pi} F^{\mu\nu} F_{\mu\nu} \right] - [(q \bar{\psi} \gamma^\mu \psi) A_\mu].$$

Identificamos o potencial eletromagnético A_μ e a lagrangeana de Maxwell com o termo de corrente:

$$J^\mu = cq(\bar{\psi} \gamma^\mu \psi).$$

- A imposição da invariância de calibre local à lagrangeana de Dirac gera toda a eletrodinâmica e especifica a corrente de partículas de Dirac.

Invariância de calibre local

- Note que a derivada:

$$\partial_\mu \psi \rightarrow e^{-iq\lambda/\hbar c} \left[\partial_\mu - i \frac{q}{\hbar c} (\partial_\mu \lambda) \right] \psi$$

introduz um termo extra envolvendo $\partial_\mu \lambda$. Se substituirmos a derivada ∂_μ pela chamada “derivada covariante”:

$$\mathcal{D}_\mu \equiv \partial_\mu + i \frac{q}{\hbar c} A_\mu,$$

o termo extra é cancelado, pois:

$$\mathcal{D}_\mu \psi \rightarrow e^{-iq\lambda/\hbar c} \mathcal{D}_\mu \psi$$

e a invariância de \mathcal{L} é restaurada. Chamamos esta de “regra do acoplamento mínimo”.

- A lagrangeana:

$$\mathcal{L} = [i\hbar c \bar{\psi} \gamma^\mu \partial_\mu \psi - mc^2 \bar{\psi} \psi] + \left[\frac{-1}{16\pi} F^{\mu\nu} F_{\mu\nu} \right] - [(q\bar{\psi} \gamma^\mu \psi) A_\mu]$$

é reconhecida como a lagrangeana da QED — campos de Dirac (elétrons ou pósitrons) interagindo com campos de Maxwell (fótons).

- A transformação de fase global pode ser pensada como a multiplicação de ψ por uma matriz unitária:

$$\psi \rightarrow U\psi, \quad \text{onde } U^\dagger U = 1 \text{ e } U = e^{i\theta}.$$

O grupo dessas matrizes é $U(1)$, portanto, esta simetria é chamada “invariância de calibre $U(1)$ ”.

Teoria de Yang-Mills

- Em 1954, Yang e Mills aplicaram a mesma estratégia (exigir a invariância global localmente) ao grupo $SU(2)$;
- Sejam 2 campos de spin- $\frac{1}{2}$, ψ_1 e ψ_2 . A lagrangeana, na ausência de interações, é:

$$\mathcal{L} = [i\hbar c \bar{\psi}_1 \gamma^\mu \partial_\mu \psi_1 - m_1 c^2 \bar{\psi}_1 \psi_1] + [i\hbar c \bar{\psi}_2 \gamma^\mu \partial_\mu \psi_2 - m_2 c^2 \bar{\psi}_2 \psi_2].$$

Combinando-se:

$$\psi \equiv \begin{pmatrix} \psi_1 \\ \psi_2 \end{pmatrix} \Rightarrow \bar{\psi} = (\bar{\psi}_1 \quad \bar{\psi}_2)$$

e a lagrangeana fica:

$$\mathcal{L} = i\hbar c \bar{\psi} \gamma^\mu \partial_\mu \psi - c^2 \bar{\psi} M \psi,$$

onde:

$$M = \begin{pmatrix} m_1 & 0 \\ 0 & m_2 \end{pmatrix}$$

é a “matriz de massa” e \mathcal{L} admite agora a invariância global:

$$\psi \rightarrow U\psi \quad \text{e} \quad \bar{\psi} \rightarrow \bar{\psi}U^\dagger, \quad \text{com} \quad U^\dagger U = 1.$$

Agora, qualquer matriz unitária pode ser escrita na forma:

$$U = e^{iH},$$

onde H é hermitiano ($H^\dagger = H$). Dados 4 números reais θ, a_1, a_2, a_3 (probl. 11.10):

$$H = \theta \mathbf{1} + \vec{\tau} \cdot \vec{a},$$

onde $\mathbf{1}$ é a matriz unitária 2×2 e τ_1, τ_2, τ_3 são as matrizes de Pauli. Assim:

$$U = e^{i\theta} e^{i\vec{\tau} \cdot \vec{a}}.$$

Teoria de Yang-Mills

- Seja a transformação global $SU(2)$:

$$\psi \rightarrow e^{i\vec{\tau} \cdot \vec{a}} \psi.$$

A matriz $e^{i\vec{\tau} \cdot \vec{a}}$ tem determinante 1 e, portanto, pertence ao grupo $SU(2)$.

Yang e Mills propuseram, inicialmente, que os parâmetros \vec{a} são funções da posição e do tempo, x^μ , e, assim:

$$\lambda(\vec{x}) \equiv \left(\frac{\hbar c}{q} \right) \vec{a}(x),$$

onde q é uma constante de acoplamento análoga à carga:

$$\psi \rightarrow S\psi, \quad \text{onde } S \equiv e^{-iq\vec{\tau} \cdot \lambda(\vec{x})/\hbar c}.$$

A lagrangeana \mathcal{L} não é invariante, pois sobra um termo na derivada:

$$\partial_\mu \rightarrow S\partial_\mu\psi + (\partial_\mu)S\psi.$$

A saída, de novo, é usar a derivada covariante:

$$\mathcal{D}_\mu \equiv \partial_\mu + i\frac{q}{\hbar c}\vec{\tau} \cdot \vec{A}_\mu$$

e atribuir um campo vetorial de calibre \vec{A}_μ , tal que:

$$\mathcal{D}_\mu\psi \rightarrow S(\mathcal{D}_\mu\psi).$$

Teoria de Yang-Mills

- A transformação $\vec{A}_\mu \rightarrow \vec{A}'_\mu$ é tal que (probl. 11.11):

$$\vec{\tau} \cdot \vec{A}'_\mu = S(\vec{\tau} \cdot \vec{A}_\mu)S^{-1} + i \left(\frac{\hbar c}{q} \right) (\partial_\mu S)S^{-1}.$$

A saída, de novo, é usar a derivada covariante:

$$\mathcal{D}_\mu \equiv \partial_\mu + i \frac{q}{\hbar c} \vec{\tau} \cdot \vec{A}_\mu$$

e atribuir um campo vetorial de calibre \vec{A}_μ , tal que:

$$\mathcal{D}_\mu \psi \rightarrow S(\mathcal{D}_\mu \psi).$$

- No caso de uma transformação muito pequena ($\lambda \ll 1$), usamos a regra de transformação *aproximada*:

$$S \approx 1 - \frac{iq}{\hbar c} \vec{\tau} \cdot \vec{\lambda}, \quad S^{-1} \approx 1 + \frac{iq}{\hbar c} \vec{\tau} \cdot \vec{\lambda}, \quad \partial_\mu S \approx -\frac{iq}{\hbar c} \vec{\tau} \cdot (\partial_\mu \lambda).$$

Assim:

$$\vec{\tau} \cdot \vec{A}'_\mu \approx \vec{\tau} \cdot \vec{A}_\mu + \frac{iq}{\hbar c} [\vec{\tau} \cdot \vec{A}_\mu, \vec{\tau} \cdot \vec{\lambda}] + \vec{\tau} \cdot \partial_\mu \lambda.$$

A lagrangeana resultante é:

$$\mathcal{L} = i\hbar c \bar{\psi} \gamma^\mu \mathcal{D}_\mu \psi - mc^2 \bar{\psi} \psi = [i\hbar c \bar{\psi} \gamma^\mu \partial_\mu \psi - mc^2 \bar{\psi} \psi] - (q \bar{\psi} \gamma^\mu \vec{\tau} \psi) \cdot \vec{A}_\mu,$$

que é invariante sob uma transformação local, mas tivemos que introduzir 3 novos campos: $\vec{A}^\mu = (A_1^\mu, A_2^\mu, A_3^\mu)$ — obs.: o índice μ pertence às partículas.

Teoria de Yang-Mills

- Estes campos têm sua própria lagrangeana:

$$\mathcal{L}_A = -\frac{1}{16\pi} F_1^{\mu\nu} F_{\mu\nu 1} - \frac{1}{16\pi} F_2^{\mu\nu} F_{\mu\nu 2} - \frac{1}{16\pi} F_3^{\mu\nu} F_{\mu\nu 3} = -\frac{1}{16\pi} \vec{F}^{\mu\nu} \cdot \vec{F}_{\mu\nu}$$

e o termo de massa de Proca:

$$\frac{1}{8\pi} \left(\frac{m_{AC}}{\hbar} \right)^2 \vec{A}^\nu \cdot \vec{A}_\nu$$

é excluído pela invariância local de calibre, mas a associação $F^{\mu\nu} = \partial^\mu A^\nu - \partial^\nu A^\mu$ ainda deve ser modificada (probl. 11.12):

$$\vec{F}^{\mu\nu} \equiv \partial^\mu \vec{A}^\nu - \partial^\nu \vec{A}^\mu - \frac{2q}{\hbar c} (\vec{A}^\mu \times \vec{A}^\nu).$$

Sob uma transformação local de calibre infinitesimal (probs. 11.13 e 11.14):

$$\vec{F}^{\mu\nu} \rightarrow \vec{F}^{\mu\nu} + \frac{2q}{\hbar c} (\vec{\lambda} \times \vec{F}^{\mu\nu})$$

e \mathcal{L}_A é invariante.

Conclusão: a lagrangeana completa é:

$$\mathcal{L} = [i\hbar c \bar{\psi} \gamma^\mu \partial_\mu \psi - mc^2 \bar{\psi} \psi] - \frac{1}{16\pi} \vec{F}^{\mu\nu} \cdot \vec{F}_{\mu\nu} - (q \bar{\psi} \gamma^\mu \vec{\tau} \psi) \cdot \vec{A}_\mu,$$

que é invariante sob transformação de calibre local $SU(2)$ e descreve 2 campos de Dirac de massas iguais em interação com 3 campos de calibre sem massa.

Os campos de Dirac geram 3 *correntes*:

$$J^\mu \equiv cq(\bar{\psi} \gamma^\mu \vec{\tau} \psi),$$

que atuam como *fontes* para os campos de calibre e sua lagrangeana (de Maxwell) é:

$$\mathcal{L} = -\frac{1}{16\pi} \vec{F}^{\mu\nu} \cdot \vec{F}_{\mu\nu} - \frac{1}{c} \vec{J}^\mu \cdot \vec{A}_\mu.$$

Cromodinâmica

- Cada sabor de quark vem em 3 cores (r, b e g) que, mesmo os sabores tendo massas diferentes, as cores não diferem em massa. Então, a lagrangeana de um quark de um dado sabor é:

$$\mathcal{L} = [i\hbar c \bar{\psi}_r \gamma^\mu \partial_\mu \psi_r - mc^2 \bar{\psi}_r \psi_r] - [i\hbar c \bar{\psi}_b \gamma^\mu \partial_\mu \psi_b - mc^2 \bar{\psi}_b \psi_b] - [i\hbar c \bar{\psi}_g \gamma^\mu \partial_\mu \psi_g - mc^2 \bar{\psi}_g \psi_g].$$

Como antes, podemos simplificar introduzindo:

$$\psi = \begin{pmatrix} \psi_r \\ \psi_b \\ \psi_g \end{pmatrix}, \quad \bar{\psi} \equiv (\bar{\psi}_r \quad \bar{\psi}_b \quad \bar{\psi}_g) \Rightarrow \mathcal{L} = [i\hbar c \bar{\psi} \gamma^\mu \partial_\mu \psi - mc^2 \bar{\psi} \psi],$$

que é a lagrangeana de 3 partículas de massas iguais que exhibe simetria $U(3)$, ou seja, é invariante sob a transformação:

$$\psi \rightarrow U\psi, \quad \bar{\psi} \rightarrow \bar{\psi}U^\dagger,$$

onde U é uma matriz unitária 3×3 :

$$U^\dagger U = 1,$$

que pode ser escrita a partir de uma matriz hermitiana:

$$U = e^{iH}, \quad \text{com } H^\dagger = H.$$

Cromodinâmica

- Além disso, qualquer matriz hermitiana 3×3 pode ser obtida a partir de 9 números reais $a_1, a_2, a_3, a_4, a_5, a_6, a_7, a_8$ e θ (probl. 11.16):

$$H = \theta \mathbf{1} + \vec{\lambda} \cdot \vec{a},$$

onde $\mathbf{1}$ é a matriz unitária 3×3 e $\lambda_1, \lambda_2, \dots, \lambda_8$ são as matrizes de Gell-Mann. O produto escalar é:

$$\vec{\lambda} \cdot \vec{a} = \lambda_1 a_1 + \lambda_2 a_2 + \dots + \lambda_8 a_8.$$

Assim:

$$U = e^{i\theta} e^{i\vec{\lambda} \cdot \vec{a}},$$

onde a matriz $e^{i\vec{\lambda} \cdot \vec{a}}$ tem determinante 1 (probl. 11.17) e pertence a $SU(3)$.

- Queremos a invariância da lagrangeana sob $SU(3)$, fazendo a simetria global tornar-se local. Isto é, sob transformação de calibre $SU(3)$:

$$\psi \rightarrow S\psi, \quad \text{onde } S \equiv e^{iq\vec{\lambda} \cdot \vec{\phi}(x)/\hbar c}, \quad \text{com } \vec{\phi} \equiv -(\hbar c/q)\vec{a},$$

sendo q uma constante de acoplamento análoga à carga.

Cromodinâmica

- O truque é substituir as derivadas pela derivada covariante:

$$\mathcal{D} \equiv \partial_\mu + i \frac{q}{\hbar c} \vec{\lambda} \cdot \vec{A}_\mu,$$

atribuindo-se a 8 campos vetoriais de calibre \vec{A}_μ as transformações:

$$\mathcal{D}_\mu \psi \rightarrow S(\mathcal{D}_\mu \psi).$$

- A transformação $\vec{A}_\mu \rightarrow \vec{A}'_\mu$ é tal que :

$$\vec{\lambda} \cdot \vec{A}'_\mu = S(\vec{\lambda} \cdot \vec{A}_\mu)S^{-1} + i \left(\frac{\hbar c}{q} \right) (\partial_\mu S)S^{-1}.$$

No caso de uma transformação muito pequena ($\lambda \ll 1$), então:

$$\vec{A}'_\mu \approx \vec{A}_\mu + \partial_\mu \phi + \frac{2q}{\hbar c} (\vec{\phi} \times \vec{A}_\mu),$$

onde:

$$(\vec{B} \times \vec{C})_i = f_{ijk} B_j C_k$$

e f_{ijk} são as constantes de estrutura da $SU(3)$, análogas às ϵ_{ijk} da $SU(2)$.

- A lagrangeana resultante é:

$$\mathcal{L} = i\hbar c \bar{\psi} \gamma^\mu \mathcal{D}_\mu \psi - mc^2 \bar{\psi} \psi = [i\hbar c \bar{\psi} \gamma^\mu \partial_\mu \psi - mc^2 \bar{\psi} \psi] - (q \bar{\psi} \gamma^\mu \vec{\lambda} \psi) \cdot \vec{A}_\mu,$$

que é invariante sob uma transformação de calibre local em $SU(3)$.

- ▶ Obs.: o custo foi a introdução de 8 campos, \vec{A}_μ , que, na linguagem das partículas, correspondem aos 8 glúons.

Cromodinâmica

- Para finalizar o trabalho, vejamos a lagrangeana dos glúons livres:

$$\mathcal{L}_{glúons} = -\frac{1}{16\pi} \vec{F}^{\mu\nu} \cdot \vec{F}_{\mu\nu}$$

e, analogamente:

$$\vec{F}^{\mu\nu} \equiv \partial^\mu \vec{A}^\nu - \partial^\nu \vec{A}^\mu - \frac{2q}{\hbar c} (\vec{A}^\mu \times \vec{A}^\nu).$$

- Conclusão: a lagrangeana completa é:

$$\mathcal{L} = [i\hbar c \bar{\psi} \gamma^\mu \partial_\mu \psi - mc^2 \bar{\psi} \psi] - \frac{1}{16\pi} \vec{F}^{\mu\nu} \cdot \vec{F}_{\mu\nu} - (q \bar{\psi} \gamma^\mu \vec{\lambda} \psi) \cdot \vec{A}_\mu,$$

que é invariante sob transformação de calibre local $SU(3)$ e descreve 3 campos de Dirac de massas iguais em interação com 8 campos de calibre sem massa.

- Os campos de Dirac geram 8 *correntes*:

$$J^\mu \equiv cq(\bar{\psi} \gamma^\mu \vec{\lambda} \psi),$$

que atuam como *fontes* para os campos de calibre e sua lagrangeana é:

$$\mathcal{L}_{glúons} = -\frac{1}{16\pi} \vec{F}^{\mu\nu} \cdot \vec{F}_{\mu\nu} - \frac{1}{c} \vec{j}^\mu \cdot \vec{A}_\mu.$$

Regras de Feynman

- A teoria quântica de campos não requer alterações nas lagrangeanas ou nas equações de campos, mas requer uma *reinterpretação* das variáveis de campos:

► *Os campos são quantizados e as partículas emergem como quanta dos campos associados.*

Assim, o fóton é o quantum do campo eletromagnético, A^μ , os quarks e os léptons são os quanta dos campos de Dirac, os glúons são os quanta dos 8 campos de calibre em $SU(3)$ e os bósons W^\pm e Z^0 são os quanta de Proca apropriados.

A lagrangeana de Klein-Gordon descreve partículas de spin 0, a de Dirac de spin $\frac{1}{2}$, a de Proca de spin 1, ...

► *Cada lagrangeana determina um conjunto particular de regras de Feynman.*

- Inicialmente, verificamos que \mathcal{L} sempre é formada por um termo livre e um ou mais termos de interação:

$$\mathcal{L} = \mathcal{L}_{\text{livre}} + \mathcal{L}_{\text{int}},$$

onde o primeiro determina o *propagador* e o segundo o *fator do vértice* do diagrama:

$$\mathcal{L}_{\text{livre}} \Rightarrow \text{propagador};$$

$$\mathcal{L}_{\text{int}} \Rightarrow \text{fator do vértice}.$$

Regras de Feynman

1- Propagador: a equação de Euler-Lagrange aplicada aos campos livres é:

$$\left[\partial^\mu \partial_\mu + \left(\frac{mc}{\hbar} \right)^2 \right] \phi = 0, \quad \text{Klein-Gordon, spin } 0;$$

$$\left[i\gamma^\mu \partial_\mu - \left(\frac{mc}{\hbar} \right) \right] \psi = 0, \quad \text{Dirac, spin } \frac{1}{2};$$

$$\left[\partial_\mu (\partial^\mu A^\nu - \partial^\nu A^\mu) + \left(\frac{mc}{\hbar} \right)^2 A^\nu \right] = 0, \quad \text{Proca, spin } 1.$$

As equações do espaço de momento são obtidas com a receita $p_\mu \leftrightarrow i\hbar\partial_\mu$:

$$[p^2 - (mc)^2]\phi = 0;$$

$$[\not{p} - (mc)]\psi = 0;$$

$$[(-p^2 + (mc)^2)g_{\mu\nu} + p_\mu p_\nu]A^\nu = 0.$$

O propagador é i vezes o inverso do fator entre colchetes:

$$\text{propagador de spin } 0 : \frac{i}{p^2 - (mc)^2};$$

$$\text{propagador de spin } \frac{1}{2} : \frac{i}{\not{p} - (mc)} = i \frac{(\not{p} + mc)}{p^2 - (mc)^2};$$

$$\text{propagador de spin } 1 : \frac{i}{p^2 - (mc)^2} \left[g_{\mu\nu} - \frac{p_\mu p_\nu}{(mc)^2} \right].$$

Regras de Feynman

No caso do fóton, não podemos fazer simplesmente $m \rightarrow 0$ no propagador de Proca, então retornamos à equação do campo livre:

$$\partial_\mu (\partial^\mu A^\nu - \partial^\nu A^\mu) = 0, \quad \text{Maxwell, spin 1, } m = 0.$$

Na condição de Lorenz:

$$\partial_\mu A^\mu = 0$$

ela reduz-se a:

$$\partial^2 A^\nu = 0,$$

que, no espaço de momento, pode ser escrita:

$$(-p^2 g_{\mu\nu}) A^\nu = 0.$$

Então, o propagador do fóton é:

$$\text{propagador de spin 1 e } m = 0 : \quad -i \frac{g_{\mu\nu}}{p^2}.$$

Regras de Feynman

2- Fator de vértice: iniciamos escrevendo $i\mathcal{L}_{int}$ no espaço de momento ($i\hbar\partial_\mu \rightarrow p$) e examinamos os campos envolvidos, que determinam a estrutura qualitativa da interação. P.ex.:

- Para a lagrangeana da QED:

$$i\mathcal{L}_{int} = -i(q\bar{\psi}\gamma^\mu\psi)A_\mu,$$

há 3 campos envolvidos (ψ , $\bar{\psi}$ e A_μ), representando as 3 linhas do vértice (um férmion entrando, um férmion saindo e um fóton); simplesmente *tiramos* estes campos (para o fóton, divide-se pelo fator $\sqrt{\hbar c/4\pi A^\mu}$, por causa do sistema de unidades CGS):

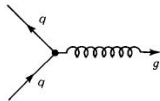
$$-iq\sqrt{\frac{4\pi}{\hbar c}}\gamma^\mu = ig_e\gamma^\mu.$$

Este é o vértice da QED para uma partícula de carga negativa.

- Para a lagrangeana da QCD:

$$\mathcal{L}_{int} = -(q\bar{\psi}\gamma^\mu\vec{\lambda}\psi) \cdot A_\mu,$$

temos o seguinte fator de vértice¹:

$$-i\frac{g_s}{2}\gamma^\mu\vec{\lambda}.$$


¹A constante de acoplamento forte é definida com um fator 2 extra: $g_s \equiv 2\sqrt{4\pi/\hbar c}q.$

Regras de Feynman

- E, para o acoplamento glúon-glúon (na QCD), há dentro do termo $\vec{F}^{\mu\nu} \cdot \vec{F}_{\mu\nu}$ um termo de interação:

$$\vec{F}_{\mu\nu} \supset -\frac{2q}{\hbar c} (\vec{A}^\mu \times \vec{A}^\nu);$$

quadrando-se:

$$\begin{aligned} \mathcal{L}_{int} = & \left(\frac{q}{8\pi\hbar c} \right) \left[(\partial^\mu A^\nu - \partial^\nu A^\mu) \cdot (\vec{A}_\mu \times \vec{A}_\nu) + (\vec{A}^\mu \times \vec{A}^\nu) \cdot (\partial_\mu A_\nu - \partial_\nu A_\mu) \right] + \\ & - \frac{q^2}{4\pi(\hbar c)^2} (\vec{A}^\mu \times \vec{A}^\nu) \cdot (\vec{A}_\mu \times \vec{A}_\nu). \end{aligned}$$

O primeiro termo contém 3 fatores de \vec{A}^μ e leva ao vértice de 3 glúons e o segundo termo contém 4 fatores de \vec{A}^μ e leva ao vértice de 4 glúons (probs. 11.20 e 11.21).

O termo de massa

- O princípio da invariância local de calibre funciona bem para as interações eletromagnéticas e forte. Os termos de massa são nulos para os intermediários (fótons e glúons), porém os bósons W^\pm e Z^0 são massivos. Como acomodar o a teoria para campos de calibre massivos?
- Seja a seguinte lagrangeana para um campo escalar ϕ :

$$\mathcal{L} = \frac{1}{2}(\partial_\mu \phi)(\partial^\mu \phi) + e^{-(\alpha\phi)^2},$$

onde α é uma constante real.

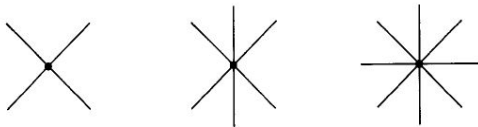
Expandindo:

$$\mathcal{L} = \frac{1}{2}(\partial_\mu \phi)(\partial^\mu \phi) + 1 - \alpha^2 \phi^2 + \frac{1}{2} \alpha^4 \phi^4 - \frac{1}{6} \alpha^6 \phi^6 + \dots,$$

notamos um termo parecido ao termo de massa da lagrangeana de Klein-Gordon, com:

$$\alpha^2 = \frac{1}{2} \left(\frac{mc}{\hbar} \right)^2 \Rightarrow m = \frac{\sqrt{2}\alpha\hbar}{c}$$

e os termos de ordem superior representam acoplamentos da forma:



O termo de massa

- Seja, agora, a seguinte lagrangeana para um campo escalar ϕ :

$$\mathcal{L} = \frac{1}{2}(\partial_\mu\phi)(\partial^\mu\phi) + \frac{1}{2}\mu^2\phi^2 - \frac{1}{4}\lambda^2\phi^4,$$

onde μ e λ são constantes reais. Note o sinal aparentemente errado, levando a uma massa m imaginária! Entretanto, o cálculo de Feynman é *perturbativo*, no qual o estado fundamental (o *vácuo*) é trivial: $\phi = 0$; mas este não é o caso da lagrangeana acima.

- Partindo de:

$$\mathcal{L} = \mathcal{T} - \mathcal{U} \Rightarrow \mathcal{T} = \frac{1}{2}(\partial_\mu\phi)(\partial^\mu\phi), \quad \mathcal{U} = -\frac{1}{2}\mu^2\phi^2 + \frac{1}{4}\lambda^2\phi^4,$$

onde o mínimo de $U(\phi)$ ocorre em:

$$\phi = \pm \frac{\mu}{\lambda}$$

e o cálculo de Feynman deve ser feito em torno desses estados.

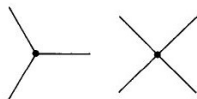
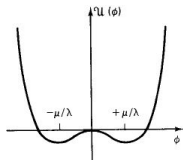
Definindo:

$$\eta \equiv \phi \pm \frac{\mu}{\lambda} \Rightarrow \mathcal{L} = \frac{1}{2}(\partial_\mu\eta)(\partial^\mu\eta) - \mu^2\eta^2 \pm \mu\lambda\eta^3 - \frac{1}{4}\lambda^2\eta^4 + \frac{1}{4}(\mu^2/\lambda)^2,$$

o termo de massa agora tem o sinal correto:

$$m = \frac{\sqrt{2}\mu\hbar}{c}$$

e os outros 2 termos seguintes representam os acoplamentos:



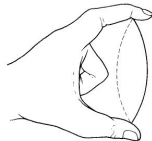
Quebra espontânea de simetria

- O procedimento anterior foi basicamente uma mudança de notação: $\mathcal{L}(\phi) \rightarrow \mathcal{L}(\eta)$. Agora, $\mathcal{L}(\phi)$ é *par*, mas $\mathcal{L}(\eta)$ é *ímpar*, ou seja, a simetria foi “*quebrada espontaneamente*”, pois não foi causada por nenhum agente externo.

► Obs.: o conjunto de todos os estados de vácuo têm a mesma simetria de \mathcal{L} , mas individualmente, não necessariamente.

A verdadeira simetria está “*escondida*” e foi revelada na escolha arbitrária de um estado fundamental (assimétrico) particular.

- Quebras espontâneas de simetria ocorrem em outras áreas da física. P.ex., tome uma pequena vareta de plástico e aperte-a. Ela vai curvar-se, mas somente para um lado (esquerda ou direita). Este é um caso de quebra espontânea de simetria *discreta*.
- Para uma quebra espontânea de simetria *contínua*, consideremos a lagrangeana:



$$\mathcal{L} = \frac{1}{2}(\partial_\mu \phi_1)(\partial^\mu \phi_1) + \frac{1}{2}(\partial_\mu \phi_2)(\partial^\mu \phi_2) + \frac{1}{2}\mu^2(\phi_1^2 + \phi_2^2) - \frac{1}{4}\lambda^2(\phi_1^4 + \phi_2^4).$$

Como esta \mathcal{L} envolve a soma dos quadrados de 2 campos, ϕ_1 e ϕ_2 , ela é invariante sob $SO(3)$, ou o grupo de rotações de qualquer ângulo θ no espaço ϕ_1, ϕ_2 :

$$\begin{cases} \phi_1 \rightarrow \phi_1 \cos \theta + \phi_2 \sin \theta \\ \phi_2 \rightarrow -\phi_1 \sin \theta + \phi_2 \cos \theta \end{cases}$$

Quebra espontânea de simetria

- Para uma quebra espontânea de simetria *contínua*, consideremos a lagrangeana²:

$$\mathcal{L} = \frac{1}{2}(\partial_\mu \phi_1)(\partial^\mu \phi_1) + \frac{1}{2}(\partial_\mu \phi_2)(\partial^\mu \phi_2) + \frac{1}{2}\mu^2(\phi_1^2 + \phi_2^2) - \frac{1}{4}\lambda^2(\phi_1^2 + \phi_2^2)^2,$$

neste caso²:

$$\mathcal{U} = -\frac{1}{2}\mu^2(\phi_1^2 + \phi_2^2) + \frac{1}{4}\lambda^2(\phi_1^2 + \phi_2^2)^2,$$

os mínimos estão num círculo de raio:

$$\phi_{1min}^2 + \phi_{2min}^2 = \frac{\mu^2}{\lambda^2}$$

e o cálculo de Feynman deve ser feito em torno de um estado fundamental particular. P.ex.:

$$\phi_{1min} = \frac{\mu}{\lambda}, \quad \phi_{2min} = 0.$$

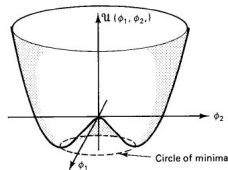
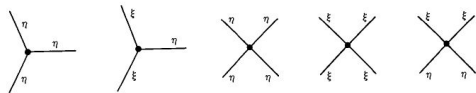
Introduzimos os novos campos: $\eta \equiv \phi_1 \pm \frac{\mu}{\lambda}$, $\xi \equiv \phi_2$

e reescrevemos:

$$\mathcal{L} = \left[\frac{1}{2}(\partial_\mu \eta)(\partial^\mu \eta) - \mu^2 \eta^2 \right] + \left[\frac{1}{2}(\partial_\mu \xi)(\partial^\mu \xi) \right] + \left[\mu\lambda(\eta^3 + \eta\xi^2) - \frac{\lambda^4}{4}(\eta^4 + \xi^4 + 2\eta^2\xi^2) \right] + \frac{1}{4}(\mu^4/\lambda)^2,$$

onde o primeiro termo contém um termo de massa, o segundo é sem massa e o terceiro representa os 5 acoplamentos:

$$m_\eta = \frac{\sqrt{2}\mu\hbar}{c}, \quad m_\xi = 0,$$



O mecanismo de Higgs

- Vamos, agora, combinar os campos ϕ_1 e ϕ_2 em um único campo complexo:

$$\phi \equiv \phi_1 + i\phi_2 \quad \Rightarrow \quad \phi^* \phi = \phi_1^2 + \phi_2^2.$$

Nesta notação, a lagrangeana fica:

$$\mathcal{L} = \frac{1}{2}(\partial_\mu \phi)^* (\partial^\mu \phi) + \frac{1}{2}\mu^2(\phi^* \phi) - \frac{1}{4}\lambda^2(\phi^* \phi)^2$$

e a simetria de rotação $SO(2)$, que foi quebrada espontaneamente, torna-se invariância sob transformação de fase $U(1)$:

$$\phi \rightarrow e^{i\theta} \phi.$$

- Podemos fazer o sistema invariante sob uma transformação local de calibre:

$$\phi \rightarrow e^{i\theta(x)} \phi$$

com a introdução de um campo de calibre, A^μ , sem massa e substituindo as derivadas por:

$$\mathcal{D}_\mu = \partial_\mu + i\frac{q}{\hbar c} A_\mu$$

Assim:

$$\mathcal{L} = \frac{1}{2} \left[(\partial_\mu - \frac{iq}{\hbar c} A_\mu) \phi^* \right] \left[(\partial^\mu + \frac{iq}{\hbar c} A^\mu) \phi \right] + \frac{1}{2}\mu^2(\phi^* \phi) - \frac{1}{4}\lambda^2(\phi^* \phi)^2 - \frac{1}{16\pi} F^{\mu\nu} F_{\mu\nu}$$

e retomamos os passos anteriores.

O mecanismo de Higgs

- Introduzindo os novos campos:

$$\eta \equiv \phi_1 - \frac{\mu}{\lambda}, \quad \xi \equiv \phi_2$$

e reescrevendo:

$$\begin{aligned} \mathcal{L} = & \left[\frac{1}{2}(\partial_\mu \eta)(\partial^\mu \eta) - \mu^2 \eta^2 \right] + \left[\frac{1}{2}(\partial_\mu \xi)(\partial^\mu \xi) \right] + \\ & + \left[-\frac{1}{16\pi} F^{\mu\nu} F_{\mu\nu} + \frac{1}{2} \left(\frac{q}{\hbar c} \frac{\mu}{\lambda} \right)^2 A_\mu A^\mu \right] - 2i \left(\frac{q}{\hbar c} \frac{\mu}{\lambda} \right) (\partial_\mu \xi) A^\mu + \\ & + \left\{ \frac{q}{\hbar c} [\eta(\partial_\mu \xi) - \xi(\partial_\mu \eta)] A^\mu + \frac{\mu}{\lambda} \left(\frac{q}{\hbar c} \right)^2 \eta (A_\mu A^\mu) + \frac{1}{2} \left(\frac{q}{\hbar c} \right)^2 (\xi^2 + \eta^2) (A_\mu A^\mu) + \right. \\ & \left. - \lambda \mu (\eta^3 + \eta \xi^2) - \frac{1}{4} \lambda^2 (\eta^4 + 2\eta^2 \xi^2 + \xi^4) \right\} + \left(\frac{\mu^2}{2\lambda} \right)^2, \end{aligned}$$

onde a primeira linha descreve uma partícula massiva e uma sem massa³:

$$m_\eta = \frac{\sqrt{2}\mu\hbar}{c}, \quad m_\xi = 0,$$

a segunda linha um campo de calibre que adquire massa:

$$m_A = 2\sqrt{\pi} \frac{q\mu}{\lambda c^2},$$

e o termo entre chaves descreve vários acoplamentos entre η , ξ e A^μ (probl. 11.26).

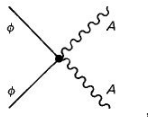
³Ou, um bóson de Goldstone.

O mecanismo de Higgs

- Vejamos a origem do termo de massa de A^μ ; a lagrangeana original contém um termo:

$$\mathcal{L} \supset \phi^* \phi A_\mu A^\mu,$$

que, sem a quebra de simetria, representa o acoplamento:



mas quando o estado fundamental sai do centro, o campo η toma um termo extra, μ/λ :

$$\eta = \phi_1 - \frac{\mu}{\lambda}.$$

- Contudo, ainda temos um bóson de Goldstone ξ . Olhando, agora, para o termo:

$$2i \left(\frac{q}{\hbar c} \frac{\mu}{\lambda} \right) (\partial_\mu \xi) A^\mu,$$

que pode ser tratado como a *interação*:

que transforma ξ em A^μ .

Só que não pode haver um “*vértice*” bilinear como este.



O mecanismo de Higgs

- Tais dificuldades são removidas, reescrevendo-se:

$$\phi \rightarrow \phi' = (\cos \theta + i \sin \theta)(\phi_1 + i\phi_2) = (\phi_1 \cos \theta - \phi_2 \sin \theta) + i(\phi_1 \sin \theta + \phi_2 \cos \theta)$$

e tomando-se:

$$\theta = -\tan\left(\frac{\phi_2}{\phi_1}\right),$$

que vai tornar ϕ' real (e o eventual $\phi'_2 = 0$). Assim, a lagrangeana reduz-se (com $\xi = 0$) a:

$$\begin{aligned} \mathcal{L} = & \left[\frac{1}{2}(\partial_\mu \eta)(\partial^\mu \eta) - \mu^2 \eta^2 \right] + \left[-\frac{1}{16\pi} F^{\mu\nu} F_{\mu\nu} + \frac{1}{2} \left(\frac{q}{\hbar c} \frac{\mu}{\lambda} \right)^2 A_\mu A^\mu \right] + \\ & + \left\{ \frac{\mu}{\lambda} \left(\frac{q}{\hbar c} \right)^2 \eta (A_\mu A^\mu) + \frac{1}{2} \left(\frac{q}{\hbar c} \right)^2 \eta^2 (A_\mu A^\mu) - \lambda \mu \eta^3 - \frac{1}{4} \lambda^2 \eta^4 \right\} + \\ & + \left(\frac{\mu^2}{2\lambda} \right)^2. \end{aligned}$$

Lembre-se de que as lagrangeanas descrevem o mesmo sistema físico. Entretanto, com uma escolha astuta de calibre, eliminamos o bóson de Goldstone e ficamos com um escalar massivo η (o *bóson de Higgs*) e um campo de calibre massivo A^μ . A^μ , inicialmente sem massa e com 2 graus de liberdade, ganha um 3º grau de liberdade (ξ) ao adquirir massa (W^\pm e Z^0).

- Este é o *mecanismo de Higgs*.